

Aide à la conception d'opérations topologiques par inférence

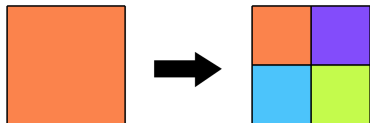
Journées du GTMG 2021

Romain Pascual¹, Hakim Belhaouari², Agnès Arnould² et Pascale
Le Gall¹

¹ Laboratoire MICS, ² Laboratoire XLIM

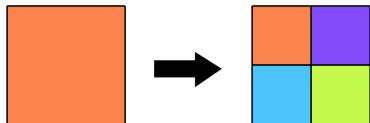
18-19 Mars 2021

Motivation

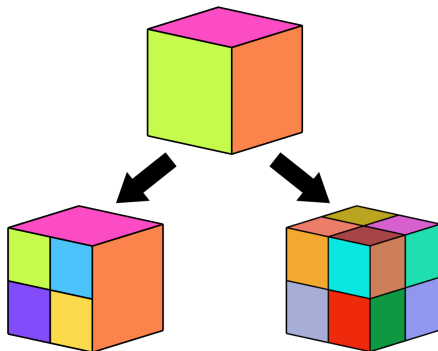


► Subdivision d'une face

Motivation

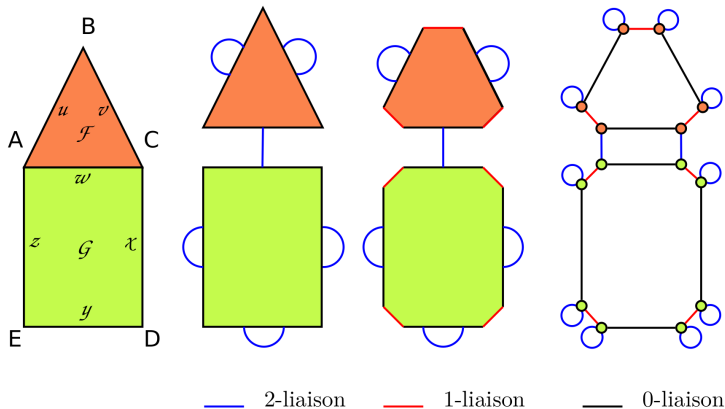


► Subdivision d'une face

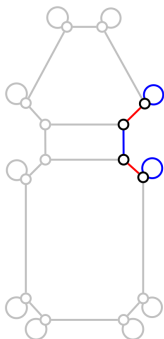
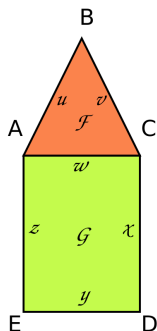


► Comment appliquer l'opération sur un cube ?

Cartes généralisées ou G-cartes [Lie89, Lie91]



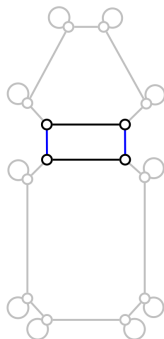
Orbites



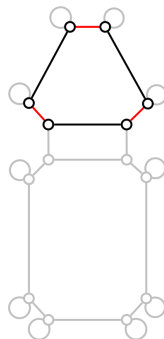
Sommet C

 $\langle 1, 2 \rangle$

— 2-liaison

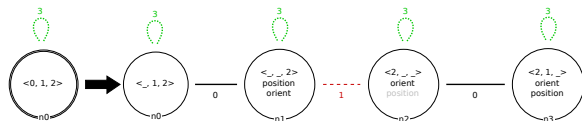
Arête w $\langle 0, 2 \rangle$

— 1-liaison

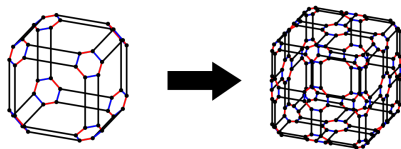
Face \mathcal{F} $\langle 0, 1 \rangle$

— 0-liaison

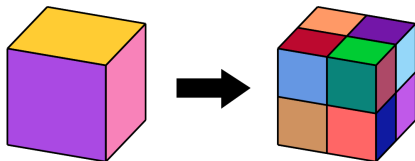
Opérations de modélisation sous forme de règles



► Schéma de règles Jerboa [BALGB14]



► Règle sur la structure topologique

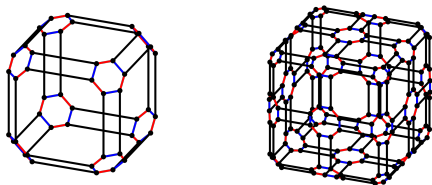


► Opération correspondante

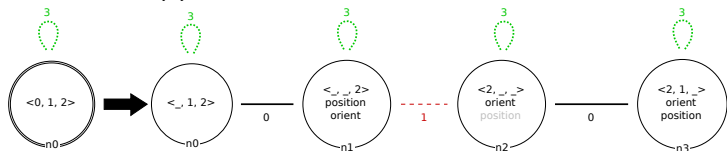
Objectif de l'algorithme

Construction de **schémas de règles** à partir d'un objet **avant** et **après** modification.

► **Entrée** : G-carte avant et G-carte après.



► **Sortie** : Schéma(s) de règles pour l'opération correspondante.



Fonctionnement de l'algorithme

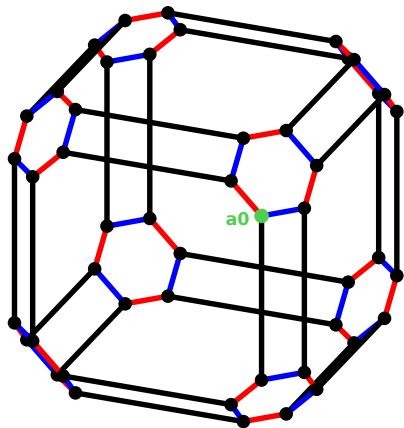
En plus des instances avant et après, on choisit **un brin** de la G-carte avant et **une orbite**.

Parcours de la G-carte

Alternance de deux étapes :

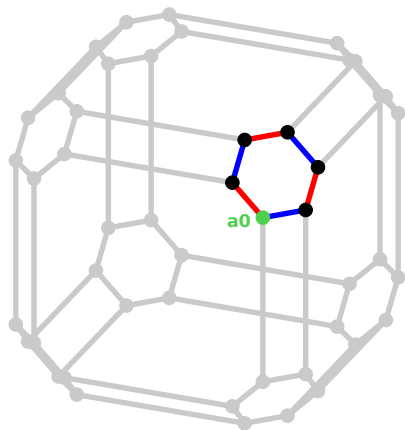
- Constuction d'un nœud,
- Extension des arcs.

► Illustration sur le motif gauche (instance "avant") avec l'orbite $\langle 1, 2 \rangle$.



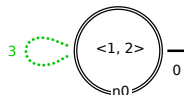
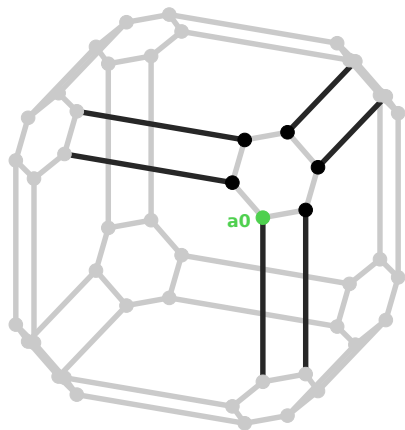
Détails de l'algorithme

Construction d'un nœud, cas de l'ancre avec l'orbite $\langle 1, 2 \rangle$.



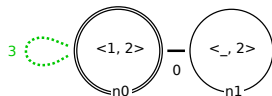
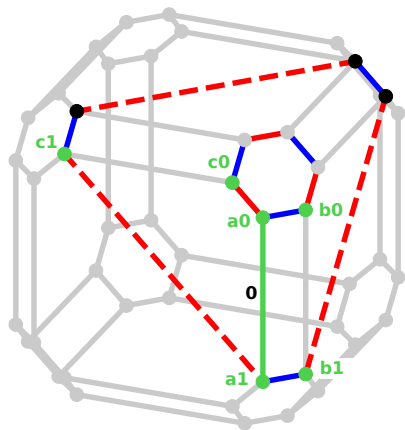
Détails de l'algorithme

Extension des arcs.



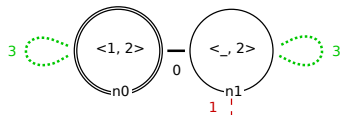
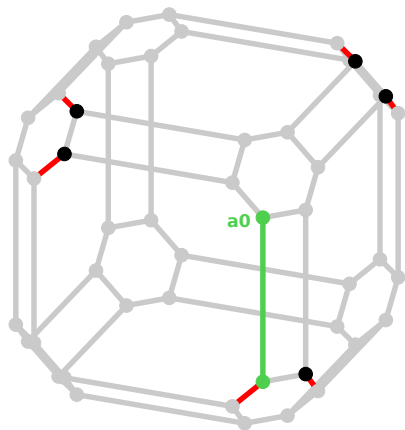
Détails de l'algorithme

Construction d'un nœud.



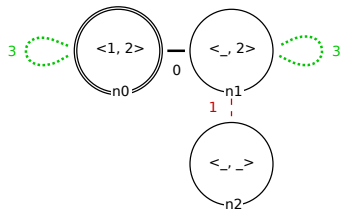
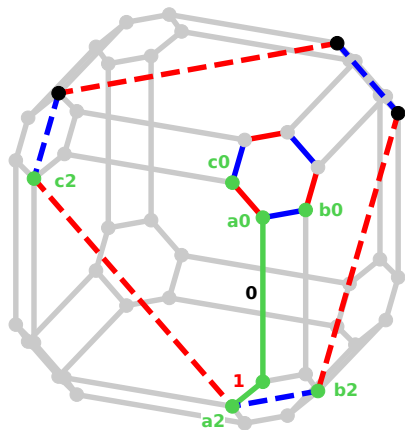
Détails de l'algorithme

Extension des arcs.



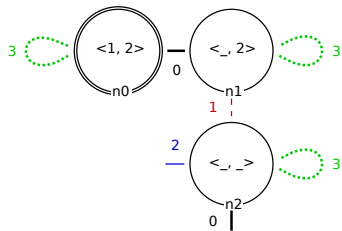
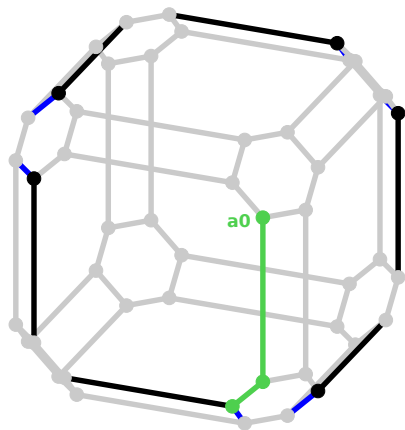
Détails de l'algorithme

Construction d'un nœud.



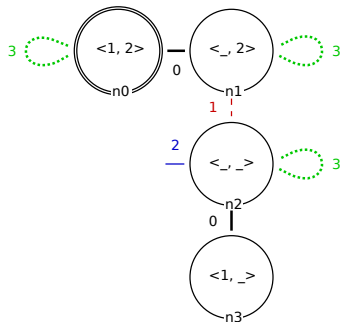
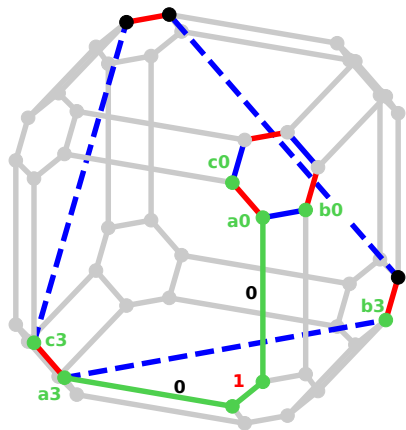
Détails de l'algorithme

Extension des arcs.



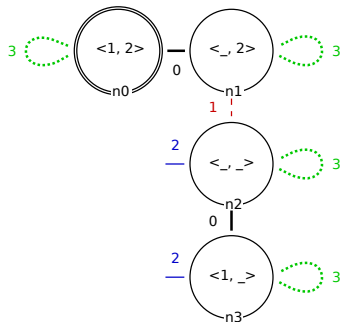
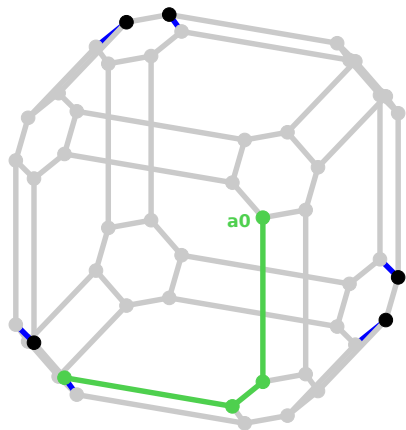
Détails de l'algorithme

Construction d'un nœud.



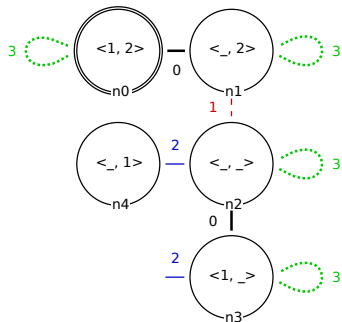
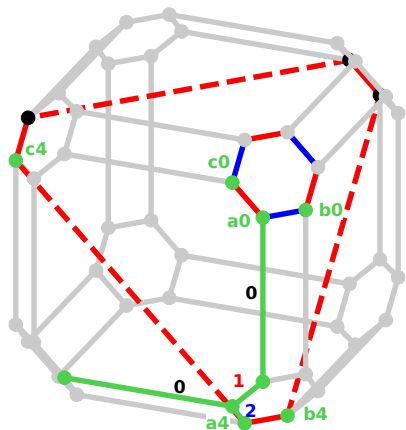
Détails de l'algorithme

Extension des arcs.



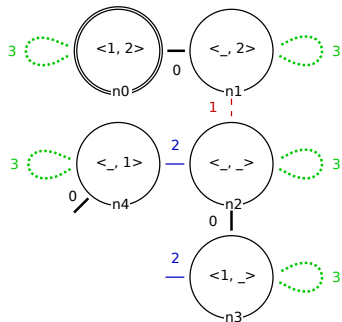
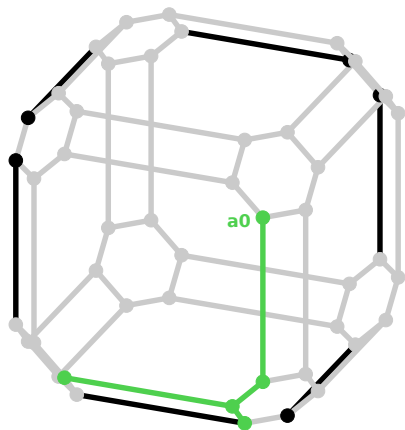
Détails de l'algorithme

Construction d'un nœud.



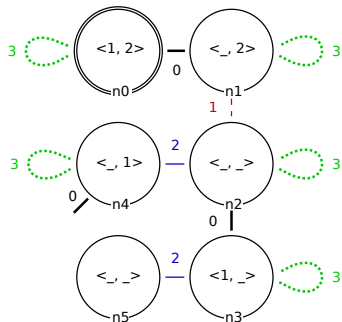
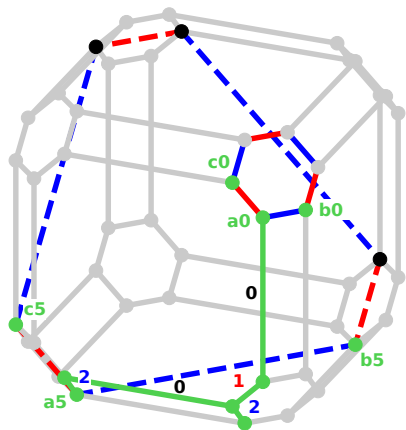
Détails de l'algorithme

Extension des arcs.



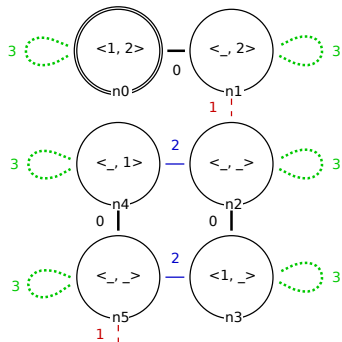
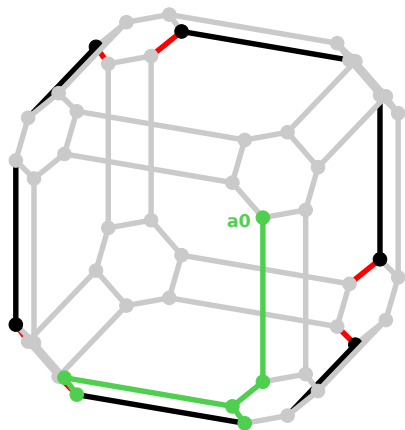
Détails de l'algorithme

Construction d'un nœud.



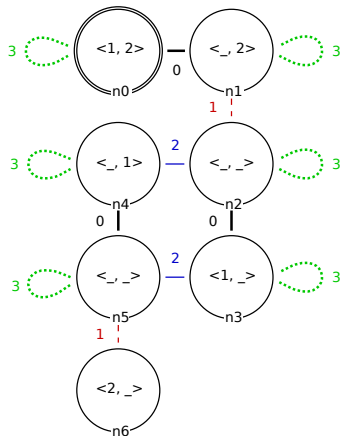
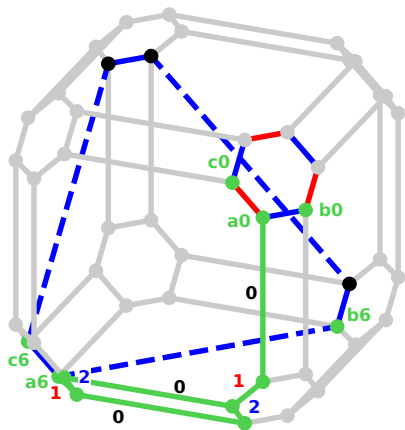
Détails de l'algorithme

Extension des arcs.



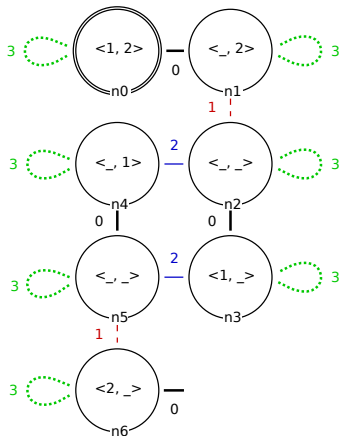
Détails de l'algorithme

Construction d'un nœud.



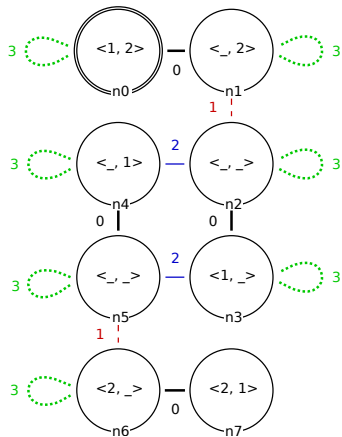
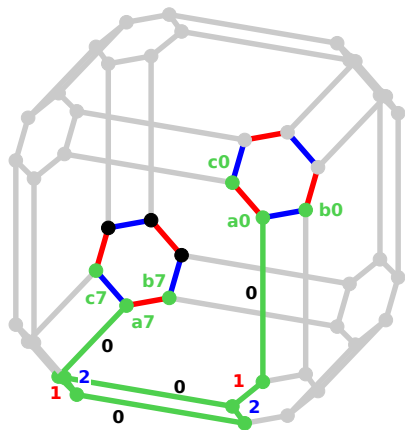
Détails de l'algorithme

Extension des arcs.



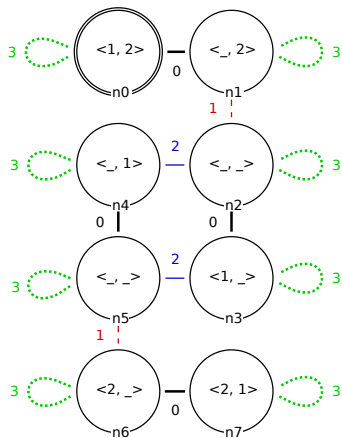
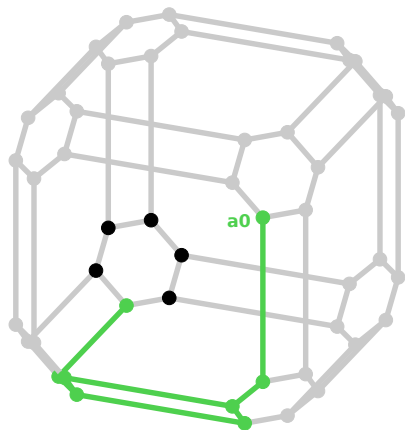
Détails de l'algorithme

Construction d'un nœud.



Détails de l'algorithme

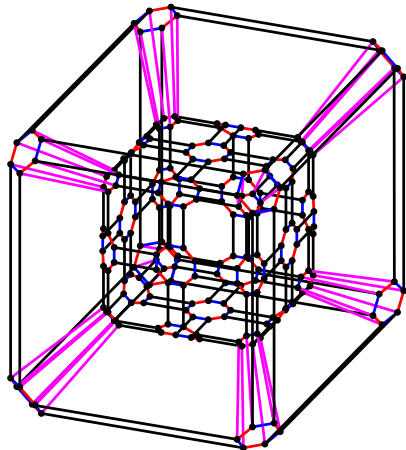
Extension des arcs.



Généralisation aux deux instances

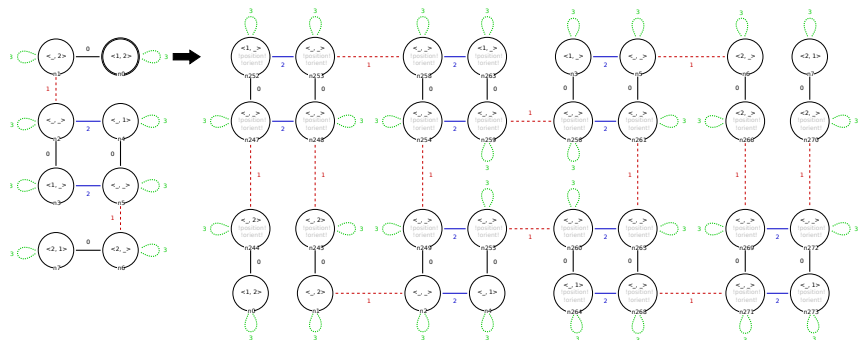
On a construit le schéma correspondant au membre gauche (l'instance "avant").

La construction se transpose à l'union de l'instance "avant" et de l'instance "après" à l'aide d'arcs reliant les brins préservés.



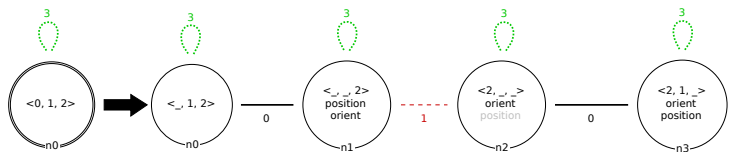
Résultat de l'algorithme

► Schéma de règle à partir d'un sommet du cube :

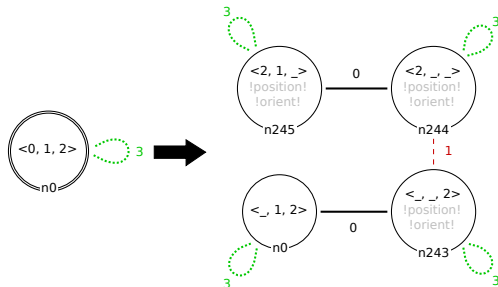


Subdivision de quad

- Schéma de règles utilisé :



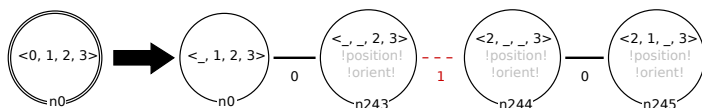
- Parmi les schémas inférés, on retrouve le schéma utilisé :



Autres schémas inférés pour la subdivision de quad

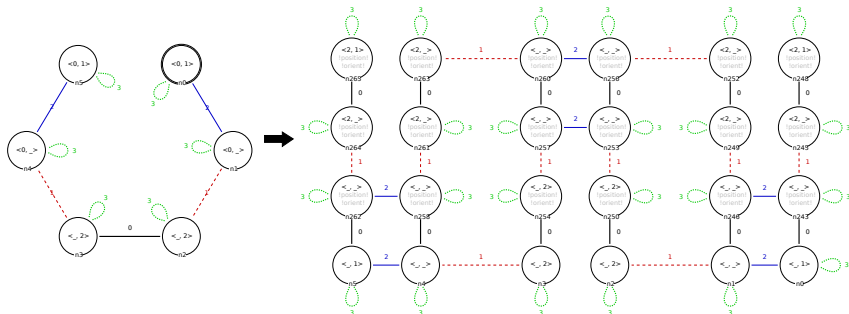
Il y a en tout **768** schémas possibles. La symétrie du cube assure qu'il n'y a que **16** schémas distincts. On a construit **48** schémas.

► Schéma pour une composante connexe.

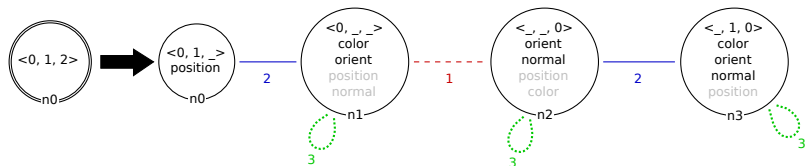
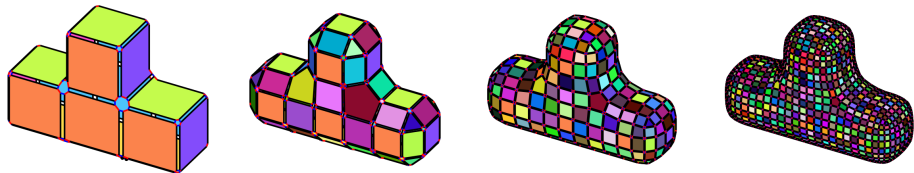


Autres schémas inférés pour la subdivision de quad

► Schéma pour une face.

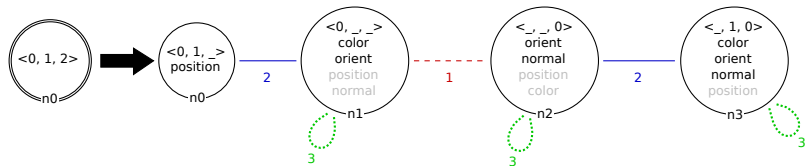


Subdivision de Doo-Sabin [DS78]

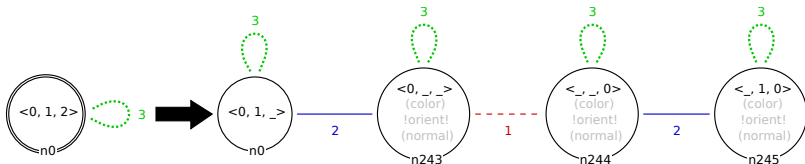


Opération correspondante

- Schéma de règles utilisé :

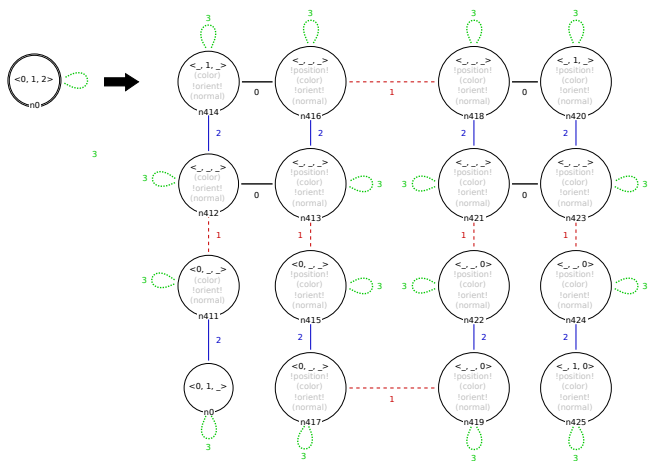


- Schéma de règles inféré :



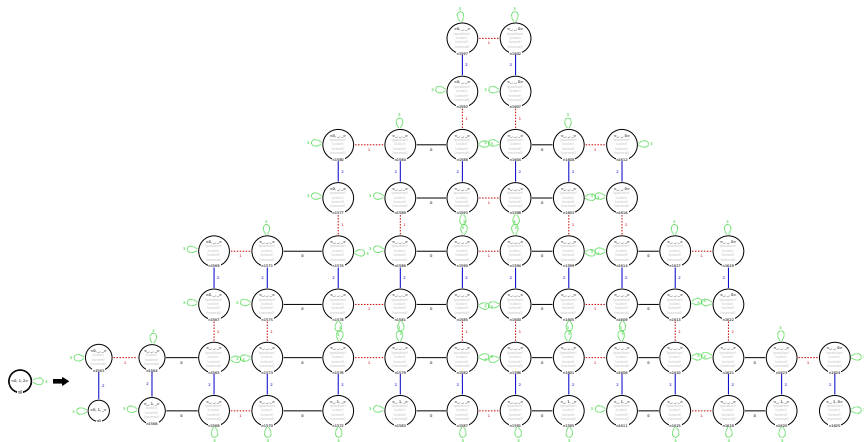
Subdivision de Doo-Sabin itérée

► Schéma de règles inféré (deux itérations) :



Subdivision de Doo-Sabin itérée

- Schéma de règles inféré (trois itérations) :



Conclusion et perspectives

- ▶ L'algorithme permet donc de rétro-ingénierer des **opérations topologiques** valides pour une opération donnée, à partir de deux **instances** d'un objet **avant** et **après** modification.
- ▶ Nous voulons mettre au point un **processus analogue** pour le calcul de la **géométrie**.
- ▶ Plus généralement, l'idée serait de **cacher complètement la syntaxe des règles** de Jerboa pour ne manipuler que des objets.



Hakim Belhaouari, Agnès Arnould, Pascale Le Gall, and Thomas Bellet.

Jerboa : A Graph Transformation Library for Topology-Based Geometric Modeling.

In Holger Giese and Barbara König, editors, [Graph Transformation \(ICGT 2014\)](#), volume 8571 of [Lecture Notes in Computer Science](#), pages 269–284, Cham, 2014. Springer International Publishing.



D. Doo and M. Sabin.

Behaviour of recursive division surfaces near extraordinary points.

[Computer-Aided Design](#), 10(6) :356–360, November 1978.



Pascal Lienhardt.

Subdivisions of N-dimensional Spaces and N-dimensional Generalized Maps.

In [Proceedings of the Fifth Annual Symposium on Computational Geometry](#), SCG '89, pages 228–236, New York, NY, USA, June 1989. Association for Computing Machinery.



Pascal Lienhardt.

Topological models for boundary representation : a comparison with n-dimensional generalized maps.

[Computer-Aided Design](#), 23(11) :59–82, February 1991.